

# تأثیر فاکتور شدت تنش در قابلیت اعتماد اتصالات لوله‌ای سکوهای دریایی در معرض خستگی

علیرضا مصیبی  
دانشجوی دوره دکترا

علی‌اکبر آفکوچک  
استادیار

دانشکده مهندسی عمران، دانشگاه تربیت مدرس

## چکیده

در این مقاله پس از مسروطی خلاصه بر تنویری‌های متداوی آنالیز قابلیت اعتماد، تأثیر فاکتور شدت تنش (S.I.F) در قابلیت اعتماد اتصالات لوله‌ای سکوهای دریایی در معرض خستگی، مورد بررسی قرار می‌گیرد. در آنالیزهای قابلیت اعتماد، تاکنون اغلب این فاکتور با استفاده از ضربی با مقدار ثابت مدل شده است. در سال‌های اخیر تلاش‌های گسترده‌ای برای تعیین این فاکتور به صورت متبوع (deterministic) صورت گرفته است که نتایج این تحقیقات وابستگی فاکتور مذکور را به مشخصات هندسی اتصال و ترک و بارگذاری به صورت پارامتریک بیان می‌کند. با وجود چنین فرمول‌هایی، آنالیز قابلیت اعتماد را می‌توان به صورت مطمئن تر و دقیق‌تری نسبت به گذشته انجام داد. در این مقاله چند سری از فرمول‌های پارامتریک به دست آمده از نتایج تحلیل‌های اجزاء محدود و آزمایش‌های تجربی در آنالیز قابلیت اعتماد اتصال مورد استفاده قرار گرفته است. این مطالعات حاکی از تأثیر شدید این پارامتر بر نتایج آنالیز قابلیت اعتماد می‌باشد.

## The Effect of Stress Intensity Factor on Reliability of Tubular Joints of Offshore Structures Subjected to Fatigue

A. A. Aghakouchak  
Assistan Professor

A. R. Mosayyebi  
Ph.D Candidate

Civil Eng. Dept. Tarbiat Modarres Univ.

## Abstract

In this paper the effect of stress intensity factor (SIF) on reliability of tubular joints of offshore structures subjected to fatigue is investigated. To date in this type of analysis this factor has been modeled using a constant coefficient. A large amount of research in recent years has been carried out to evaluate the SIF's deterministically. The results have been presented as parametric formulae expressing this factor as a function of the geometry of connection and crack as well as loading characteristics. Using these formulae the reliability analysis may be carried out much more accurately. In this paper a number of such parametric formulae derived based on experimental or finite element analysis have been used. The results show the significant effect of SIF on reliability indices.

## مقدمه

به عبارت دیگر علیرغم آن که برخی اوقات پس از گذشت مدتی از عمر سکو لازم است مشخص شود، بارهای واردۀ چقدر در سازه تخریب ایجاد کرده است، با وجود این تنها عامل قابل اندازه‌گیری که ابعاد ترک‌های به وجود آمده ناشی از خستگی است در رابطه فوق مستقیماً دخالت داده نشده است.

**ب - روش استفاده از تئوری‌های مکانیک شکست**  
در این روش براساس نتایج حاصل از آزمایش‌ها، روابط تجربی بین اندازه ترک ناشی از خستگی و تعداد سیکل‌های بارگذاری و دامنه تنفس اعمالی برازش داده می‌شود. در حالت کلی این رابطه به فرم:

$$da/dN = F [a, S, C, m, \theta] \quad (2)$$

است در این رابطه  $a$  اندازه ترک و  $S$  دامنه تنفس اعمالی،  $C$  و  $m$  پارامترهای مربوط به خواص مصالح و  $\theta$  شامل تمامی پارامترهای دیگر نظری اثرات خوردنگی، شرایط هندسی و مرزی، اثرات درجه حرارت و غیره می‌باشد. یکی از روابط تجربی که مورد استفاده فراوانی پیدا کرده است، رابطه Paris-Erdogan [۱] است که توسط رابطه

$$da/dN = C (\Delta K)^m \quad (3)$$

بیان می‌گردد. البته نتایج آزمایش‌ها، پراکندگی‌های زیادی را در پارامترهای  $C$ ،  $m$  نشان داده است. مزیت این روش در این است که با اندازه‌گیری‌های ترک‌های ناشی از خستگی می‌توان برنامه ریزی بهینه‌ای برای زمان‌های بازرسی و ترمیم و مرمت سازه انجام داد. در رابطه فوق  $\Delta K$  تغییرات فاکتور شدت تنفس است. فاکتور شدت تنفس تابعی از اندازه ترک، تنفس دور دست، هندسه سازه و شرایط مرزی می‌باشد. از آنجا که ترک در اتصالات لوله‌ای، ترکی سطحی به فرم تقریباً نیمه بیضوی است، تعیین فاکتور شدت تنفس به صورت تحلیلی دارای پیچیدگی‌های خاصی است. از این رو در سال‌های اخیر مطالعات متعددی با استفاده از روش‌های تحلیلی، تجربی و یا نیمه تجربی برای تعیین این فاکتور صورت گرفته است. فاکتور شدت تنفس عموماً به صورت:

$$K = Y (a, g) . S \sqrt{\pi} a \quad (4)$$

سکوهای دریایی در اثر بارگذاری نوسانی ناشی از امواج دریا، بارهای بهره‌برداری و سایر بارهای محیطی در معرض خستگی قرار دارند. به دلیل هزینه‌های بسیار زیاد تعمیراتی و مشکلات تکنیکی تعمیر و مرمت از یک طرف و خسارات جبران ناپذیر مالی و جانی و زیست محیطی ناشی از تخریب سکو از طرف دیگر، در مواردی روش‌های آنالیزهای معمولی و متعارف سازه‌ای کفايت نکرده و انجام آنالیزهای پیچیده‌تری را ایجاب می‌نماید. در همین زمینه عدم قطعیت‌های متعددی که در بارگذاری، تبیین رفتار سازه در اندرکش با آب و خاک و نیز در مدل انتخابی برای تعیین عمر خستگی وجود دارد، کاهی انجام آنالیز قابلیت اعتماد در تعیین عمر خستگی را اجتناب ناپذیر می‌سازد. بنا به دلایل متعددی نظریه هندسه پیچیده، تنفس‌های پس ماند ناشی از جوشکاری، ترک‌های اولیه و خلل فرج‌های جوش، اتصالات لوله‌ای بیشتر از سایر اجزاء در معرض خستگی قرار دارند و اغلب پس از گذشت مدت زمانی از عمر سکو در محل بعضی از این اتصالات ترک‌های بزرگ ناشی از خستگی مشاهده می‌شود. در حالت کلی در اثر پدیده خستگی در اجزای سازه‌ای که تحت تأثیر بارگذاری نوسانی قرار می‌گیرند، توانایی اجزاء در تحمل بارهای واردۀ کاهش یافته و یا از بین می‌رود. بسته به خواص مصالح و بارگذاری اعمالی و نیز هندسه سازه، میزان کاهش توانایی سازه در هر سیکل بارگذاری ممکن است تغییر پیدا کند. معمولاً دو روش برای تعیین عمر خستگی وجود دارد که عبارتند از: الف) روش S-N و ب) روش استفاده از تئوری‌های مکانیک شکست.

**الف - روش استفاده از دیاگرام‌های S-N**  
در این روش براساس نتایج حاصل از آزمایش‌ها منحنی‌هایی ترسیم می‌شود که اغلب در مقیاس لگاریتمی به صورت خطی می‌باشد. رابطه برازش داده شده بر این منحنی‌ها به فرم:

$$N = K_1 S^{-b} \quad (1)$$

است که در آن  $K_1$  ضرایب ثابتی هستند که براساس آزمایشات به دست می‌آیند.  $N$  تعداد سیکل‌های بارگذاری و  $S$  دامنه تنفس اعمالی است. اشکال مده‌ای که این روش دارد این است که اندازه‌گیری میزان تخریب اتفاق افتاده در اثر خستگی با استفاده از آن میسر نیست.

لوله ای T شکل ارائه کرده اند. فرمول های ایشان با توجه به اثرات ترکیبی مدهای مختلف ترک به دست آمده است. به دلیل شرایط هندسی پیچیده اتصال، حتی وقتی که عضو شاخه (brace) تحت تأثیر نیروی کششی خالص قرار می گیرد، تمامی مدهای ترک فعال می گردند و فاکتور شدت تنش معادل از رابطه:

$$K_e = [K_{Ii}^2 + K_{IIi}^2 + K_{IIIi}^2 / (1 - \nu)]^{1/2} \quad (6)$$

تعیین می گردد. بر این مبنای رابطه تجربی برازش داده شده ایشان به صورت زیر قابل بیان است:

$$K_e = F_g \cdot F_s \cdot F_i \cdot \sigma_N \cdot \sqrt{\pi a} \quad (7)$$

$F_g$  ضریب مربوط به هندسه اتصال،  $F_s$  ضریب مربوط به هندسه ترک و  $F_i$  ضریب مربوط به اثرات ترکیبی هندسه اتصال و ترک است.  $\sigma_N$  تنش اسمی عنصر شاخه است [شکل ۲]. در فرمول های فوق جمله های  $c' = 3c/d$ ,  $a' = a/T$ ,  $c = a/T$ , طول ترک,  $T$  ضخامت chord و  $d$  قطر brace است، دخالت دارند.

چند مدل تجربی نیز برای تعیین فاکتور شدت تنش اتصالات لوله ای توسعه داده شده است. یکی از مدل های مشهوری که در دانشگاه لندن (U.C.L) به دست آمده است، مدلی است که به نام مدل دو فازی T.P.M (Two Phase Model) مشهور است. در این مدل پدیده رشد ترک های خستگی به دو مرحله پیدا شیش ترک (crack propagation) و گسترش ترک (crack initiation) تقسیم شده است. رابطه برازش داده شده به ضریب فاکتور شدت تنش به صورت:

$$Y = M \cdot B \cdot (T/a)^k \quad (8)$$

است، که در آن  $k$  و  $B$  توابعی از اندازه ترک بحرانی (ضخامت) و نیز ضریب تنش میانگین دور اتصال ( $S$ ) می باشند.  $M$  در دو فاز مختلف شروع و گسترش ترک مقادیر جداگانه ای دارد. خلاصه روابط به دست آمده برای مدل بالا به صورت زیر قابل بیان است:

$$M = \begin{cases} \frac{(0.25T P_s)^2}{a} & a < 0.25T \\ 1 & a \geq 0.25T \end{cases} \quad (9)$$

بیان می گردد. در رابطه اخیر و اثرات هندسی و مربزی است و  $Y$  ضریب فاکتور شدت تنش نامیده می شود. مقدار  $Y$  در دور تا دور اتصال متغیر است [۲]. در آنالیزهای قابلیت اعتماد، اغلب برای این پارامتر مقدار ثابتی (مستقل از اندازه ترک) در نظر می گیرند [۳]. در این مقاله هدف آن است که ضمن معرفی برخی از مدل های معین (deterministic) که برای این ضریب وجود دارند، تأثیر پارامتر مذکور در آنالیز قابلیت اعتماد اتصال مورد بررسی قرار گیرد.

## ۱- مروری بر روش های معین (deterministic) تعیین فاکتور شدت تنش

به دلیل دیجیگی های هندسی و مربزی و ماهیت تنش سه بعدی، محاسبه فاکتور شدت تنش به صورت تحلیلی، برای اتصالات لوله ای کار سیار دشواری است. ترک های به وجود آمده در اثر خستگی در این اتصالات از نوع ترک های سطحی هستند (شکل ۱) که به صورت نیمه بیضوی قابل تقریب زدن هستند. برای محاسبه فاکتور شدت تنش اغلب از روش های آزمایشی و یا روش های اجزای محدود استفاده می شود. استفاده از توابع وزن و روش هایی نظیر مدل فنر خطی (line spring)، مدل آزادسازی لنگر [۲] و تلفیق آن با روش های تعیین فاکتور شدت تنش در صفحات مسطح نیز توسط محققین بررسی شده است.

Newman-Raju [۴]، یک فرمول نیمه تحلیلی بر مبنای محاسبات روش اجزاء محدود برای محاسبه فاکتور شدت تنش در هر نقطه از پیرامون یک ترک سطحی در یک صفحه با عرض محدود [شکل ۱] و تحت تأثیر تنش های غشایی و خمی پیشنهاد کرده اند، فرمول پیشنهادی Newman-Raju را می توان به صورت زیر بیان کرد:

$$K(\varphi) = (S_t + H \cdot S_b) \sqrt{\frac{\pi a}{Q}} F\left(\frac{a}{h}, \frac{a}{c}, \frac{c}{l}, \varphi\right) \quad (5)$$

در رابطه فوق،  $S_t$  تنش غشایی و  $S_b$  تنش خمی،  $h$  ضخامت صفحه،  $l$  نصف عرض صفحه،  $Q$  فاکتور شکل و  $H$  فاکتورهای تصحیح شرایط مربزی اند. روابط جهت تعیین  $F, H, Q$  و محدودیت های کاربرد آنها در مرجع [۳] ارائه گردیده است.

Rhee و همکاران [۵] بر مبنای روش اجزاء محدود فرمول های پارامتریک برای فاکتور شدت تنش اتصالات

برون صفحه‌ای OPB و همینطور برای اتصالات Y شکل تحت اثر خمش درون صفحه‌ای IPB نشان داده‌اند. مدهای بارگذاری، موضع ترک و نحوه تغییرات ضریب تمرکز تنش در اشکال (۳ الف تا ج) نشان داده شده‌اند. دامنه تغییرات Y برای مدهای مختلف بارگذاری در اشکال [۴-۶] مشخص شده است.

در شکل (۷) مقایسه‌ای بین روابط مختلف پیشنهادی Y انجام گرفته است. ملاحظه می‌گردد که در ترک‌های  $a/T < 0.25$  مدل‌های مختلف مقادیر بسیار متغروتی را پیش‌بینی می‌کنند، در حالی که در ترک‌های بزرگ  $a/T > 0.5$  اختلاف بین مدل‌ها کمتر می‌شود. بررسی تأثیر این اختلافات در انديس قابلیت اعتماد، در اين مقاله مورد نظر قرار گرفته است.

## ۲- مروری بر روش‌های قابلیت اعتماد

در روش‌های قابلیت اعتماد اینمی سازه به جای اينکه با يك سري ضرائب اينمی جزئی (partial safety factor) محاسبه گردد، با محاسبه احتمال رسیدن و يا نرسیدن سازه به حالت حدی خود برآورده می‌گردد. احتمال نرسیدن سازه به حالت حدی خود به قابلیت اعتماد و يا احتمال بقاء معروف است. بحث تفصیلی تئوري‌های قابلیت اعتماد خارج از حوصله اين مقاله بوده و به تفصیل در مرجع [۸] توضیح داده شده است. در اینجا فقط به صورت خلاصه برخی از این روش‌ها مرور می‌گردد.

اولین قدم در آنالیز قابلیت اعتماد، تشخیص پارامترهایی است که به عنوان متغیر تصادفی پایه می‌توانند در مد گسیختگی و یا رسیدن سازه به حالت حدی مشارکت داشته باشند. متغیرهای تصادفی می‌توانند بارهای وارد، خصوصیات مصالح متغیرهای هندسی، و یا عدم قطعیت‌های ناشی از عدم کفايت اطلاعات آماری و یا مدل فیزیکی مورد مطالعه باشد. هر يك از متغیرهای تصادفی فوق الذکر از يك توزيع احتمالی پیروی می‌کنند. فرض کنید تعداد n متغیر تصادفی وجود دارد که در حالت حدی L<sub>1</sub> تأثیر می‌گذارند. اين متغیرها با بردار X = (x<sub>1</sub>, x<sub>2</sub>, ..., x<sub>n</sub>) نشان داده می‌شوند.تابع حالت حدی را می‌توان به صورت زير:

$$M = g(x_1, x_2, \dots, x_n) \quad (15)$$

$$\dagger k = (0.353 + 0.057 \times S) (T / 0.016)^{-0.099P_2} \quad (10)$$

$$B = (0.669 - 0.1625 \times S) (T / 0.016)^{0.110P_1} \quad (11)$$

$$P = 0.231 (T / 0.016)^{-1.71} \beta^{0.31} S_{ch}^{0.18} \times P_3 \quad (11)$$

در رابطه فوق  $S_{ch}$  ضریب تمرکز تنش hot spot است که در این مقاله از روابط پیشنهادی [۶] Lloyd's استخراج گردیده‌اند. S نسبت میانگین تنش دور اتصال است که به صورت زير:

$$S = S_{ch} / \pi \int_{-\pi/2}^{\pi/2} S_c(\theta) d\theta \quad (12)$$

بيان می‌گردد.  $S_c(\theta)$  ضریب تمرکز تنش در زاویه  $\theta$  نسبت به نقطه hot spot است. ضرایب  $P_1, P_2, P_3, P_4$  در فرمول اصلی T.P.M وجود ندارند. در این مقاله این ضرایب به صورت ضرایبی با مقدار ثابت برابر واحد جهت آنالیز حساسیت منظور گردیده‌اند. به عبارت دیگر جهت تعیین حساسیت انديس قابلیت اعتماد نسبت به تغییرات هر يك از ترم‌های رابطه T. P. M ضرایب  $P_1$  تا  $P_4$  اضافه شده‌اند.

مدل ساده دیگری توسط H.O. Madsen [۷] به کار برده شده است. در این مدل Y به صورت:

$$Y = Y_{unwelded}(a) \cdot M_k(a) \quad (13)$$

بيان شده است. در رابطه فوق علاوه بر اثرات هندسه اتصال، اثرات مربوط به جوش نیز منظور گردیده است. جمله دوم ((M<sub>k</sub>(a)) در رابطه فوق تأثیرات جوش را منظور می‌کند. مستقل از نوع بارگذاری جمله‌های رابطه (۱۳) توسط روابط زير بيان می‌شوند:

$$Y_{unwelded}(a) = [1.08 - 0.7 (a/T)] \quad (14)$$

$$M_k(a) = [1.0 + 1.24 \cdot e^{-22.1 (a/T)} + 3.17 e^{-357 (a/T)}] \quad (14)$$

در اين روابط e پایه لگاریتم طبیعی است. آفاكوچک و همکاران [۲] بر مبنای روش توابع وزن، مدل آزاد سازی لنگر و نتایج آزمایش‌ها، حدود تغییرات و پراکندگی Y را برای اتصالات T شکل تحت اثر نیروی محوری، خمس

شکست نیز از فضای اصلی به فضای نرمال انتقال خواهد یافت. در فضای نرمال سطح جدید شکست عبارت خواهد بود از  $0 = g^*(u)$ . نقطه‌ای روی این سطح شکست که کمترین فاصله را تأمینده مختصات داشته باشد به نام نقطه طراحی نامیده می‌شود و اندیس قابلیت اعتماد فاصله مبدأً مختصات نقطه طراحی می‌باشد. بنابراین اگر نقطه طراحی را  $u^*$  بنامیم، خواهیم داشت

$$\sum_{i=1}^{n/2} (u_i - \beta)^2 = \beta^2$$

در روند تعیین اندیس قابلیت اعتماد سطح شکست با یک ابرصفحه (hyper-plane) و یا یک hyper-paraboloid تخمین زده می‌شود که حالت نخست به FORM (First order reliability method) و SORM (second order reliability method) اخیر به معروف است. در کتاب این روش‌ها به منظور تعیین دقیق‌تر نقطه طراحی، روش‌های تلفیقی SORM یا FORM با نمونه‌گیری تطبیقی نیز توسعه یافته‌اند. پس از تعیین قابلیت اعتماد، می‌توان حساسیت احتمال شکست را نسبت به هر یک از متغیرهای تصادفی با تعیین  $\alpha_i$ ها، ضرایب حساسیت و ضرایب الاستیسیتیه تعیین کرد. پارامترهای فوق الذکر چنین تعریف می‌شوند:

یا گرادیان سطح شکست در نقطه طراحی، میزان حساسیت اندیس قابلیت اعتماد را به تغییرات جزئی در هر یک از متغیرهای پایه بیان می‌کند.

$$\alpha_i = \frac{\partial \beta}{\partial u_i} \mid u = u^* \quad (18)$$

$u^*$  نقطه طراحی است و داریم:  $\beta = lu^*$   
ضرایب الاستیسیتیه جهت بدون بعد کردن  $\alpha_i$ ها چنین تعریف می‌شوند:

$$e_i = \frac{\partial \beta}{\partial u_i} \frac{u_i}{\beta} \mid u = u^* = \alpha_i \frac{u_i}{\beta} \mid u = u^* \quad (19)$$

### ۳- فرمولبندی مسئله آنالیز خستگی اتصالات لوله‌ای

معمولاً فرض می‌شود که خستگی اتصالات لوله‌ای سکوهای دریایی از قانون Paris (رابطه ۲) تبعیت می‌کند. با ترکیب روابط (۳) و (۴) رابطه زیر به دست می‌آید:

$$\frac{da}{dN} = CS^m Y^m (\sqrt{\pi} a)^m \quad (20)$$

نشان داد.  $M$  را حاشیه اینمی (safety margin) می‌نامند. حاشیه اینمی در شرایط زیر صدق می‌کند.

$$M > 0 \quad X \in W_1$$

$$M \leq 0 \quad X \in W_2$$

$W_1$  و  $W_2$  به ترتیب فضای اینمی و شکست را نشان می‌دهند. سطح  $n-1$  بعدی که در شرط:

$$g(X) = g(x_1, x_2, \dots, x_n) = 0 \quad (16)$$

صدق کند، به نام سطح گسیختگی نامیده می‌شود. بنابراین سطح گسیختگی فضای متغیرهای تصادفی را به دو ناحیه اینمی ( $W_1$ ) و غیر اینمی ( $W_2$ ) تقسیم می‌کند. قابلیت اعتماد و یا احتمال نرسیدن به حالت حدی عبارت است از:

$$R = 1 - P_f = 1 - \int_{x \in W_1} f_x(x) dx \quad (17)$$

$f_x(x)$  چگالی احتمالی مشترک  $n$  متغیر پایه و  $P_f$  احتمال شکست است. نتیجه بالا دقیق است، ولی از نقطه نظر علمی دو عیب دارد: او لاً معمولاً داده‌های کافی به منظور ساختن تابع چگالی احتمالی مشترک متغیرهای تصادفی در دست نیست، ثانیاً به فرض داشتن تابع چگالی احتمال مشترک متغیرهای پایه، محاسبه انتگرال چند کاره فرق روى فضای پیچیده  $W_f$  بسیار دشوار است و اغلب از روش‌های شبیه‌سازی نظریه مونت کارلو و یا مونت کارلو با نمونه گیری تطبیقی (adaptive sampling) استفاده می‌شود که بسیار وقت‌گیر و پرهزینه می‌باشد. به منظور گریز از این مشکلات اغلب از روش‌های تقریبی سطح II استفاده می‌شود. در این روش‌ها به جای اینکه معادله (۱۷) به صورت مستقیم محاسبه شود، از اندیسی به نام اندیس قابلیت اعتماد ( $\beta$ ) استفاده می‌شود، که با تعیین آن احتمال شکست از رابطه  $(-\beta) = \Phi^{-1}(P_f)$  تابع توزیع تجمعی احتمالی نرمال (گوسی) است، به دست می‌آید. جهت محاسبه اندیس قابلیت اعتماد، ابتدا متغیرهای تصادفی  $X$  که ممکن است دارای چگالی احتمال مشترک غیر نرمال باشند، به فضای  $n$  متغیر تصادفی مستقل، دارای توزیع نرمال استاندارد  $U$  انتقال می‌یابند [۸]. بنابراین متغیرهای فضای  $U$  مستقل دارای توزیع احتمالی نرمال، میانگین  $\mu_{xi} = 0$  و انحراف معیار  $\sigma_{xi} = 1.0$  می‌باشند. متناظر با چنین انتقالی، سطح

شکل و یک اتصال T شکل با مشخصات جدول (۲) مورد مطالعه قرار گرفته اند. سهس با آنالیز حساسیتی که روی پارامترهای هندسی این اتصالات انجام گرفته است، در واقع یک محدوده وسیعی از اتصالات در نظر گرفته شده اند. اتصالات تحت تأثیر حالات دریایی (sea states) با مشخصات جدول (۳) قرار گرفته اند. در محاسبات تنش hot spot از ضرایب تمرکز تنش (Lloyd's) استفاده شده است. روش های زیر در محاسبات قابلیت اعتماد مقایسه گردیده اند.

روش ۱ - در این روش  $B_k$  به صورت یک ضریب ثابت با مقدار واحد مدل گردیده است و برای Y نیز مقدار واحد منظور شده است.

روش ۲ - در این روش  $B_k$  به صورت یک ضریب ثابت با مقدار ۰.۸ مدل گردیده است و برای Y نیز مقدار واحد منظور شده است.

روش ۳ - در این روش  $B_k$  به صورت یک توزیع لوگ نرمال با میانگین ۱ و انحراف معیار ۰.۱۲ و Y به صورت ضریب ثابت با مقدار واحد مدل شده است.

روش ۴ - در این روش  $B_k$  به صورت یک توزیع لوگ نرمال با میانگین ۰.۸ و انحراف معیار ۰.۱۲ و Y به صورت ضریب ثابت با مقدار واحد مدل شده است.

روش ۵ - در این روش بر مبنای دامنه تغییرات فاکتور شدت تنش (اشکال ۴، ۵، ۶) توابعی به صورت چند جمله‌ای‌های درجه چهارم بر میانگین تغییرات برازش داده شده است. سپس عدم قطعیت‌های ضریب فاکتور شدت تنش به صورت ضریبی به نام  $V_D$  مدل گردیده است. برای  $V_D$  توزیع یکنواخت در دامنه‌ای برابر با دامنه تغییرات اشکال فوق الذکر منظور گردیده است. در اشکال ۷-۱۱ این روش به نام مدل آکاکوچک نامیده شده است. فرمول‌های برازش داده شده بر این اشکال به صورت زیر قابل بیان است:

(الف) اتصالات T شکل تحت اثر نیروی محوری شاخه (brace) (شکل ۴ و ۷ الف)

$$Y_1(a) = \frac{1.4557 - 6.3512(\frac{a}{T}) + 20.8333(\frac{a}{T})^2 - 30.506(\frac{a}{T})^3 + 15.744(\frac{a}{T})^4}{T} \quad (25)$$

(ب) اتصالات T تحت اثر خمش برون صفحه‌ای (OPB) (شکل ۵ و ۷ ب)

که با جداسازی ترم‌های وابسته به طول ترک (a) رابطه فوق را می‌توان به صورت زیر:

$$\int_{a_0}^{a_{cr}} \frac{da}{Y^m (\sqrt{\pi a})^m} = \int_{N_0}^N C S_h^m dN \quad (21)$$

نوشت. طرف راست معادله فوق را می‌توان با  $CE[S^m] (N - N_0)$

جایگزین کرد. در رابطه فوق به عمق ترک اولیه،  $a_0$  عمق ترک بحرانی، N تعداد سیکل هایی است که باعث بحرانی شدن ترک می‌شود. محققین سعی کرده‌اند که تنش معادلی را جایگزین  $E[S^m]$  کنند. اگر این تنش معادل را  $S_h$  بنامیم خواهیم داشت:

$$\int_{a_0}^{a_{cr}} \frac{da}{Y^m (\sqrt{\pi a})^m} = C S_h^m (N - N_0) \quad (22)$$

یکی از روابط ساده‌ای که برای طیف تنش‌های با باند Wirsching پهن کاربرد دارد، رابطه به دست آمده توسط [۹] است که به صورت زیر:

$$S_h = 2\sqrt{2\lambda\Gamma(\frac{m}{2} + 1)^{1/m}} \cdot \sigma_0 \quad (23)$$

بیان می‌گردد.  $\lambda$  پارامتری است که به خصوصیات پهنای طیف و نیز ثابت m وابسته است و  $\sigma_0$  جذر سطح زیر منحنی طیف تنش است. به دلیل عدم قطعیت‌های متعدد، سعی شده است که رابطه (۲۲) اصلاح گردد. در این مقاله عدم قطعیت‌های مختلف به صورت زیر تأثیر داده شده است.

$$\int_{a_0}^{a_{cr}} \frac{da}{G \cdot (B_k \cdot B_{ga} \cdot B_{hs} \cdot Y)^m (\sqrt{\pi a})^m} = C S_h^m (N - N_0) \quad (24)$$

که در رابطه فوق a (اندازه ترک اولیه)، G (تأثیرات تنش آستانه)،  $B_k$  (اثرات عدم قطعیت‌های فیزیکی فاکتور شدت تنش)،  $B_{ga}$  (اثرات عدم قطعیت‌های نیروی داخلی عضو)،  $B_{hs}$  (عدم قطعیت‌های تنش (hot spot)، C (ضریب رابطه پاریس) به عنوان متغیرهای تصادفی اختیار گردیده اند. خصوصیات متغیرهای تصادفی در جدول (۱) نشان داده شده است.

جهت بررسی اثرات فاکتور شدت تنش یک اتصال T

$$Y_1(a) = \frac{1.003 - 2.5869(\frac{a}{T}) + 6.333(\frac{a}{T})^2 - 8.1845(\frac{a}{T})^3 + 3.988(\frac{a}{T})^4}{T} \quad (26)$$

ج) اتصالات Y شکل تحت اثر خمش درون صفحه (IPB) (شکل ۶ و ۷-ج)

$$Y_1(a) = \frac{0.94774 - 3(\frac{a}{T}) + 8.083(\frac{a}{T})^2 - 10.179(\frac{a}{T})^3 + 4.881(\frac{a}{T})^4}{T} \quad (27)$$

جهت تأثیر پراکندگی‌های فاکتور شدت تنش (اشکال ۶-۷) می‌توان فاکتور شدت تنش را به صورت

$$Y(a) = Y_1(a) \cdot V_D \quad (28)$$

بیان کرد. که در این رابطه  $V_D$  یک متغیر تصادفی با توزیع مستطیلی در دامنه  $(0.85, 1.15)$  است.

روش ۶ - نظری روش ۵، ولی Y از فرمول‌های پیشنهادی Rhee (۵) محاسبه شده است. برای نسبت طول ترک  $Coa = \frac{S}{P_1 P_2}$  مقدار ثابت برابر با ۵ اختیار گردیده است.

روش ۷ - نظری روش ۵، ولی Y از روش TPM محاسبه گردیده است. برای ضریب S مقدار ثابت برابر با ۰.۲۵ اختیار گردیده است (باتوجه به شکل ۳-ج) و رابطه  $(12)$  و سپس نسبت به آن آنالیز حساسیت انجام گرفته است. جهت آنالیز‌های حساسیت ضرایب  $P_1$  تا  $P_5$  با مقداری برابر واحد در پارامترهای این روش ضرب گردیده است.

روش ۸ - نظری روش ۵، ولی Y از فرمول پیشنهادی Madsen محاسبه گردیده است. در این روش تابع Y مستقل از نوع بارگذاری است.

#### ۴ - نتایج آنالیز قابلیت اعتماد

نتایج محاسبات در اشکال (۱۱-۱۱) رسم گردیده است. از روش SORM جهت محاسبه استفاده شده است.

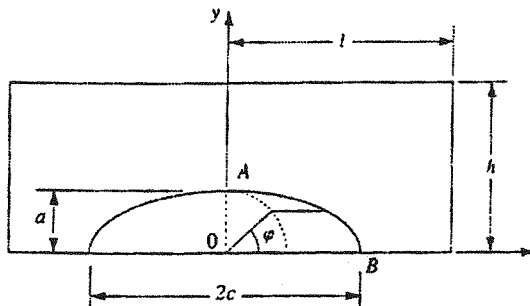
در اشکال (۸-الف) تابع (۱۰-الف) تغییرات اندیس قابلیت اعتماد بر حسب زمان برای اتصالات T شکل تحت اثر نیروی محوری، خمش OPB، و Y شکل تحت اثر خمش IPB رسم گردیده است. مدل TPM و آقاقوچک اندیس قابلیت اعتماد بالاتری به دست داده اند. مدل

Madsen در اتصالات  $T_{OPB}$  و  $Y_{IPB}$  اندیس قابلیت اعتماد بیشتری نسبت به وقتی که فاکتور شدت تنش برابر با مقدار ثابت  $1/0$  اختیار شود، به دست داده است. ولی در اتصالات Taxial (شکل ۸) قابلیت اعتماد کمتری Madsen توسط این مدل پیش‌بینی گردیده است. مدل Madsen مستقل از نوع بارگذاری و هندسه اتصالات است و به دلیل تأثیر هندسه چوش در ترک‌های بسیار ریز مقدار Y به مراد بیشتر از واحد در این مدل پیش‌بینی می‌شود. در شکل ۷ مقایسه‌ای بین روابط فاکتور شدت تنش انجام گرفته است. ملاحظه می‌گردد که در مدل‌های Rhee و Madsen مقدار این فاکتور بیش از نتایج آزمایش‌ها به دست آمده است. در اشکال (۸ تا ۱۰ ب) آنالیز حساسیت نسبت به پارامتر S در مدل TPM انجام گرفته است. ملاحظه می‌گردد که با افزایش این پارامتر اندیس قابلیت اعتماد نیز بیشتر می‌شود و حساسیت نسبت به تغییرات آن بسیار زیاد است، به طوری که از شکل (۱۰ ب) مشخص است اگر که S از مقدار ۱.۰ به ۴ افزایش یابد، اندیس قابلیت اعتماد از مقدار ۳.۸ به مقدار ۹.۰ افزایش خواهد یافت. در اشکال ۸ تا ۱۰ (ج، د) حساسیت نسبت به پارامترهای هندسی اتصال (T, S) رسم شده است. در این اشکال فرض بر این بوده است که تنش اسمی شاخه (brace) با تغییرات هندسه اتصال فرقی نمی‌کند ولی ضرایب تمرکز تنش و لذا تنش hot spot تابعی از پارامترهای هندسی اتصال است و تغییرات این پارامترها باعث تغییرات تنش hot spot می‌شود. در ضمن میزان حساسیت نسبت به پارامتر  $\beta$  ناچیز بوده است.

در شکل (۱۰-د) اثر زاویه تمایل ( $\theta$ ) شاخه نسبت به chord (پایه) بررسی گردیده است. ملاحظه می‌گردد که با افزایش این زاویه قابلیت اعتماد کاهش یابد. ولی همواره پس از مدل TPM با مقدار  $S=2.25$ ، مدل آقاقوچک بیشترین اندیس قابلیت اعتماد را نتیجه داده است و مدل  $(Y=1.0)$  بسیار محافظه کارانه بوده است.

آنالیزهای حساسیت نسبت به پارامترهای ثابت در مدل TPM در شکل ۱۱ (الف) نشان داده شده است. (برای Taxial) ملاحظه می‌شود که ثابت پاریس (m) و ضریب فاکتور شدت تنش Y بیشترین اثرات کاهندگی را در اندیس قابلیت اعتماد می‌گذارند و ضریب تنش متوسط اتصال (S) بیشترین اثرات افزایندگی را در اندیس قابلیت اعتماد می‌گذارد. الاستیسیته ضریب S بیش از ۲ برابر قدر مطلق الاستیسیته ضریب  $P_4$  به دست آمده است. ضریب  $P_4$  به منظور بررسی تأثیر

نتایج آزمایشات به صورت یک توزیع مستطیلی طراحی گردیده است. نتایج نشان داده است که حساسیت نسبت به واریانس این متغیر تصادفی ( $V_D$ ) چندان زیاد نیست، لذا کاربرد مدل ساده فوق در محاسبات قابلیت اعتماد می تواند علاوه بر سهولت کاربرد نسبت به مدل های پیچیده تر نظریه مدل Rhee و اجتناب از مشکلات عددی، دقت کافی نیز داشته باشد. در مدل TPM ، ضریب  $S$  تأثیر بسیار زیادی در محاسبات قابلیت اعتماد داشته است. دقت کاربرد این مدل منوط به تعیین دقیق این پارامتر است. مدل Rhee گاهی دچار مشکلات عددی گردیده است. در ترک های ریز مقدار فاکتور شدت تنش به دست آمده از مدل Rhee، زیادتر از مدل های Madsen و آکاکوچک است و لذا اندیس قابلیت اعتماد نیز، انتظار می رود که کمتر باشد. مدل Madsen، مدل ساده ای از نظر کاربرد است و نتایج به دست آمده از آن نیز می تواند گاهی دست بالا بودن فاکتورهای شدت تنش ثابت را توجیه کند ولی تأثیر خنده ای اتصال و بارگذاری به طور مستقیم در آن وارد نشده است. مهمترین عواملی که در اندیس قابلیت اعتماد تأثیر می گذارند، ثوابت پاریس ( $C$ ،  $m$ ، فاکتور شدت تنش  $\gamma$ ، و عدم قطعیت های طیف تنش) می باشند.



شکل (۱) مشخصات ترک سطحی در یک صفحه با عرض محدود

ضریب تمرکز تنش منظور شده است، بنابراین حساسیت اندیس قابلیت اعتماد به پارامتر  $S$ ، بیش از سه برابر نسبت به ضریب تمرکز تنش است. همینطور مشاهده می شود که پارامترهای  $P_1$ ،  $P_2$  و  $P_3$  تأثیر چندانی در اندیس قابلیت اعتماد ندارند، لذا دقت مدل TPM وابستگی چندانی به این پارامترها ندارد.

در شکل (۱- ب) آنالیز حساسیت نسبت به میانگین متغیرهای تصادفی مدل TPM انجام گرفته است (اتصال  $T_{\text{ad}}$ ) و در شکل (۱- ج) این آنالیز نسبت به واریانس متغیرهای تصادفی انجام گرفته است. حساسیت نه چندان زیاد نسبت به واریانس متغیر تصادفی  $V_D$  و حساسیت زیاد آن به میانگین متغیر تصادفی می بین آن است که اگر بتوان با دقت خوبی میانگین فاکتور شدت تنش را تعیین کرد، در این صورت، مدل ساده توزیع یکنواخت می تواند کفایت لازم را داشته باشد.

## ۵- تبعیجه گیری

از نتایج آنالیز قابلیت اعتماد می توان در برنامه ریزی بازرگانی سکو استفاده کرد. در گذشته اغلب با بازرگانی های زودتر از موعد مواجه شده اند. به عبارت دیگر در روش های معمولی آنالیز قابلیت اعتماد (با فاکتور شدت تنش ثابت) زمانی را که برای بازرگانی اتصالات پیش بینی می کرده اند دست پایین تخمین زده می شده است. دلایل متعددی برای این موضوع ذکر است که از آن جمله می توان به کند شدن رشد ترک (crack retardation)، وجود تنش های چند محوره و هم فاز نبودن لنگرهای خمشی و نیروی محوری اشاره کرد. یکی دیگر از دلایل فاکتور شدت تنش این است. حساسیت اندیس قابلیت اعتماد نسبت به فاکتور شدت تنش زیاد است و نیز روش های مختلف تعیین فاکتور شدت تنش، مقدار اندیس قابلیت اعتماد بسیار متفاوتی را می توانند سبب شوند، بنابر این مدل کردن آن به صورت ثابت گاهی می تواند با بازرگانی های زودتر از موعد منجر گردد.

چندین روش مختلف برای تأثیر فاکتور شدت تنش در آنالیز قابلیت اعتماد اتصالات لوله ای سکوهای دریایی مورد بررسی قرار گرفته است. نتایج نشان داده است که فاکتور شدت تنش می تواند تأثیر بسیار زیادی در نتایج قابلیت اعتماد داشته باشد. یک مدل ساده از نظر کاربرد در محاسبات قابلیت اعتماد بر مبنای نتایج آزمایشات توسعه داده شده است. پراکندگی های مشاهده شده در

$$K_a = \sigma_a F_g F_i \sqrt{\pi a}$$

Model AKAI : Deepest Crack Front Point ( $K_a$ )

$$F_g = 0.2749\beta^{-0.6225-1.2685\ln\beta} \gamma^{1.3191-0.1661\ln\gamma} r^{1.6621+0.3704\ln\beta}$$

$$F_i = \beta^{0.3561A-0.0956C} \gamma^{0.0983A+0.2298C+0.0817C^2} r^{-0.0762A}$$

$$F_s = (a')^p (c')^r$$

$$p = -0.8669-0.2198A-0.0162A^2-0.4750C^2-0.1667C^3-0.0193C^4$$

$$r = 0.0777+1.0531A+0.5820A^2+0.0810A^3-0.7001C-0.0604C^2+0.0060C^3$$

$A = \ln a'$  and  $C = \ln c'$

Model AKC2 : Surface Crack Front Point ( $K_c$ )

$$F_g = \frac{204.08\beta^{-0.5858-0.7492\ln\beta}}{\gamma^{1.1491-0.2936\ln\gamma} r^{0.5043\ln r}}$$

$$F_i = \beta^{0.0680A} \gamma^{0.0478A-0.5344C-0.1218C^2} r^{-0.1299A-0.0370C}$$

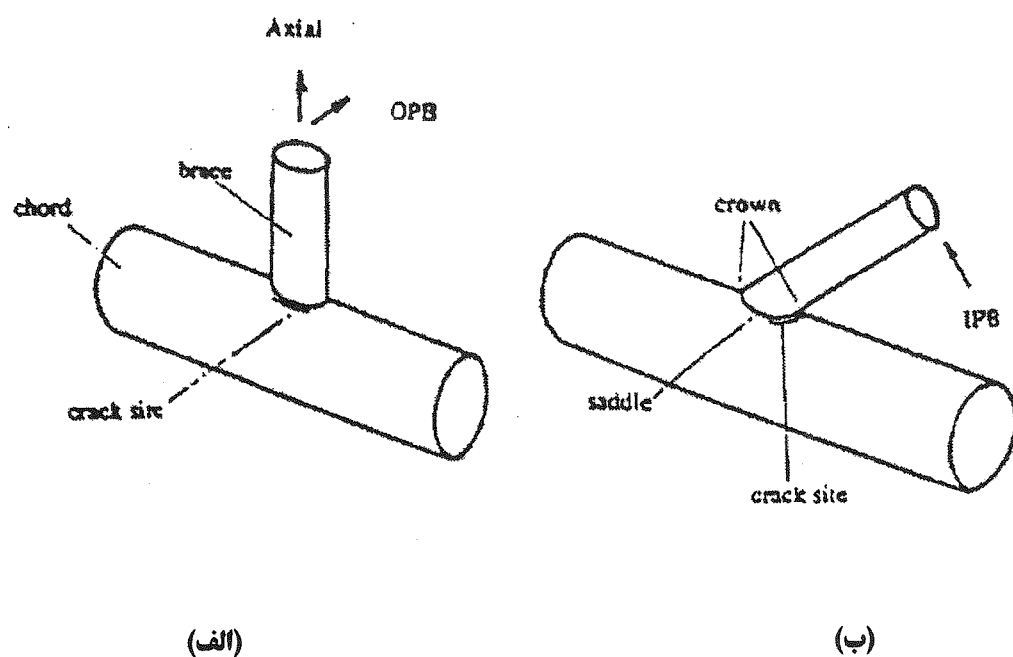
$$F_s = (a')^p (c')^r$$

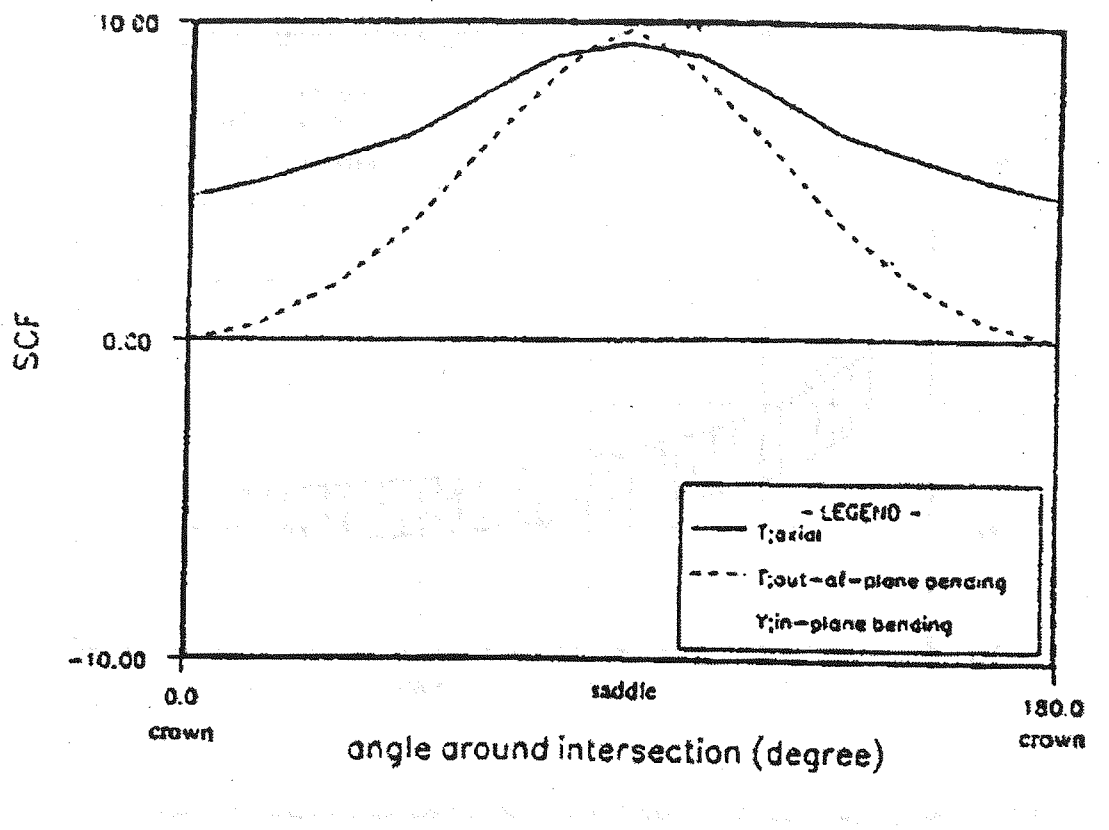
$$p = 1.0787+0.6397A+0.1569A^2+0.0186A^3-(0.0770+0.0478A+0.0099A^2)C^2$$

$$r = 0.8617+0.4888A+0.1816A^2+0.0123A^3-0.3252C-0.2210C^2-0.0275C^3$$

$A = \ln a'$  and  $C = \ln c'$

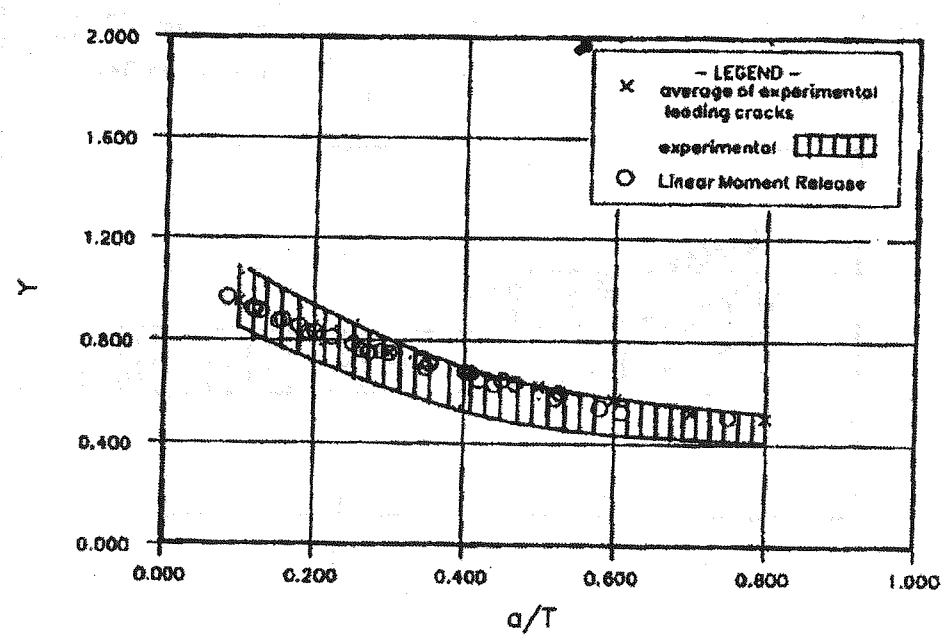
شکل (۲) فرمول های پیشنهادی Rhee، برای محاسبه فاکتور شدت تنش در یک انصال لوله ای T شکل تعut اثر نیروی محوری



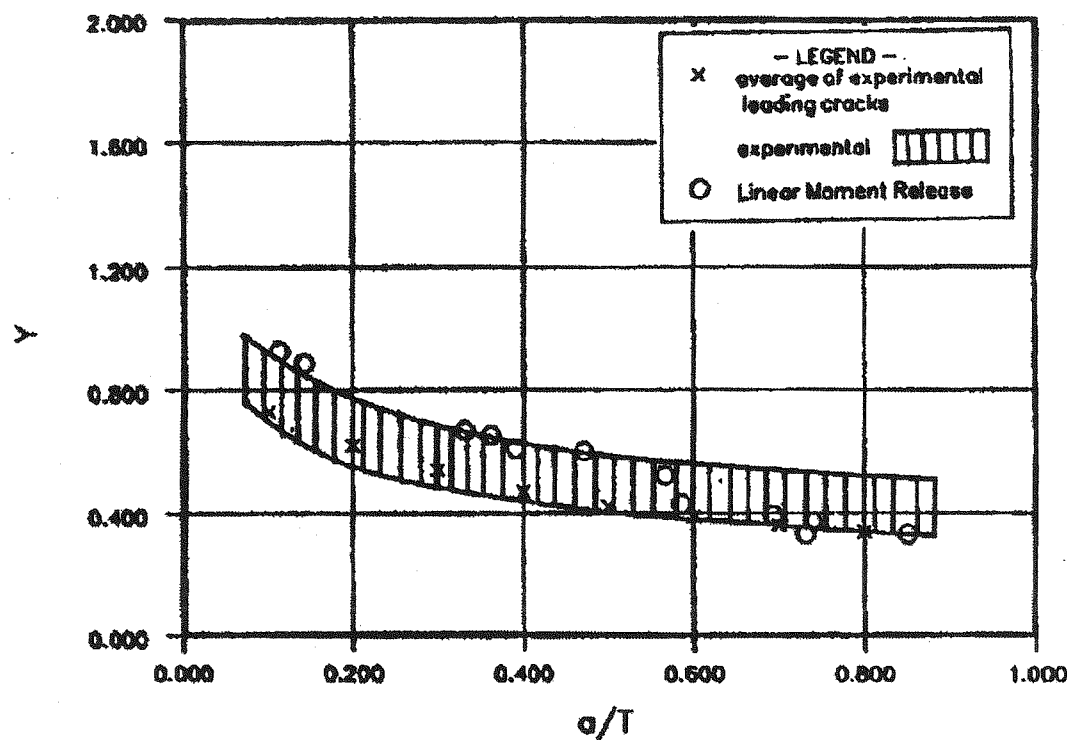


(ج)

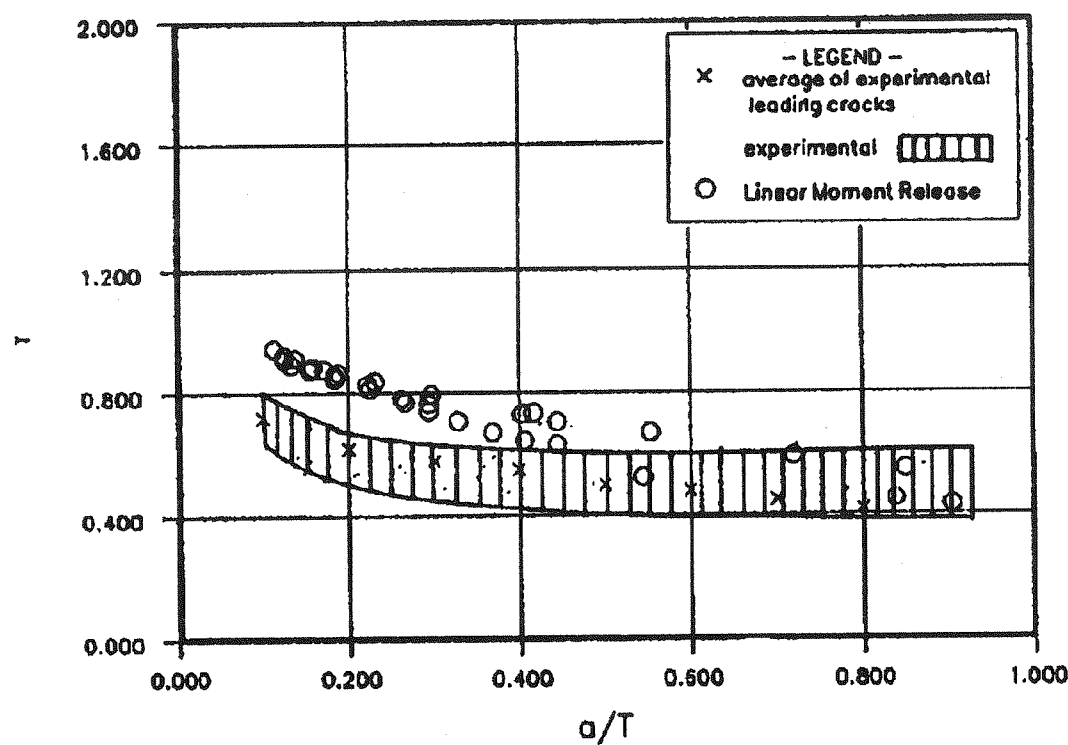
شکل (۳) (الف) - مدهای بارگذاری اتصال لوله‌ای T شکل و محل ترک محتمل، ب- اتصال لوله‌ای Y شکل تحت اثر خمش درون صفحه‌ای و محل ترک محتمل، ج- تغییرات ضریب تمثیل تنش در دور اتصال



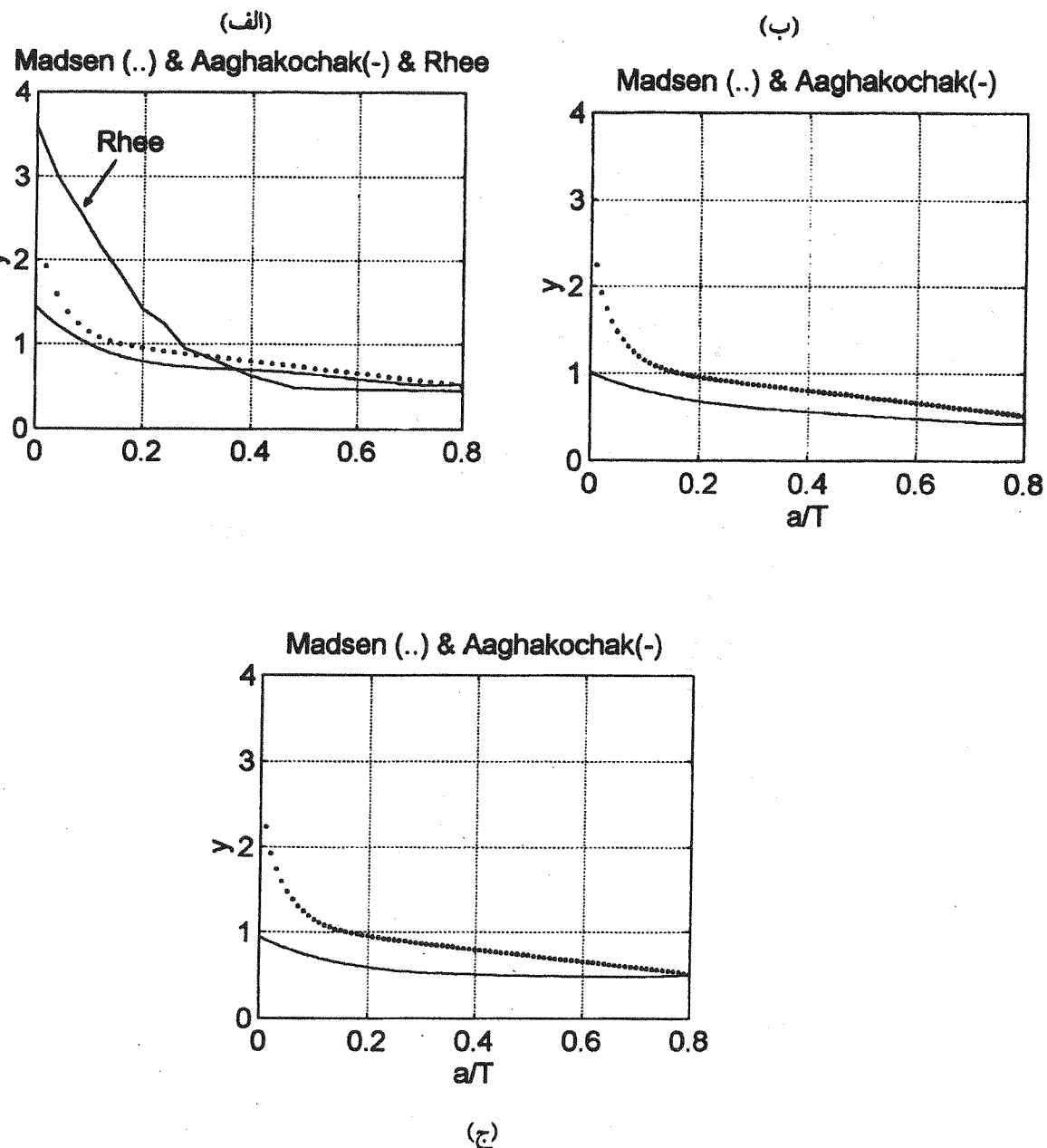
شکل (۴) دامنه ضریب فاکتور شدت تنش براساس نتایج آزمایشات برای يك اتصال لوله‌ای T شکل تحت اثر نیروی محوری



شکل (۵) دامنه ضریب فاکتور شدت تنش براساس نتایج آزمایشات برای یک اتصال لوله‌ای T شکل قمع اثر خمش برون صفحه‌ای (OPB)



شکل (۶) دامنه ضریب فاکتور شدت تنش براساس نتایج

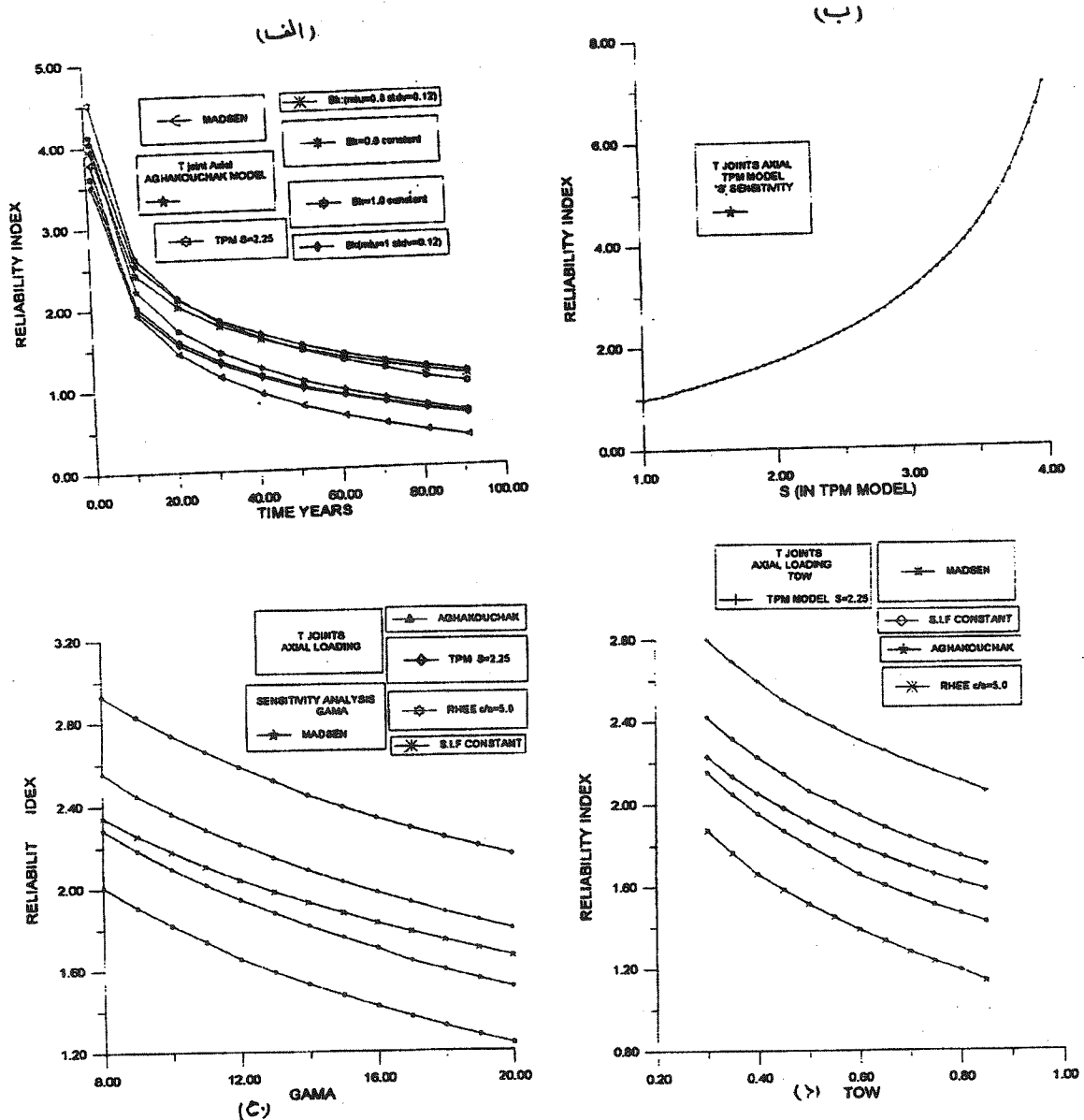


شکل (۷) مقایسه روابط مختلف ضریب S.I.F در حالت متبین

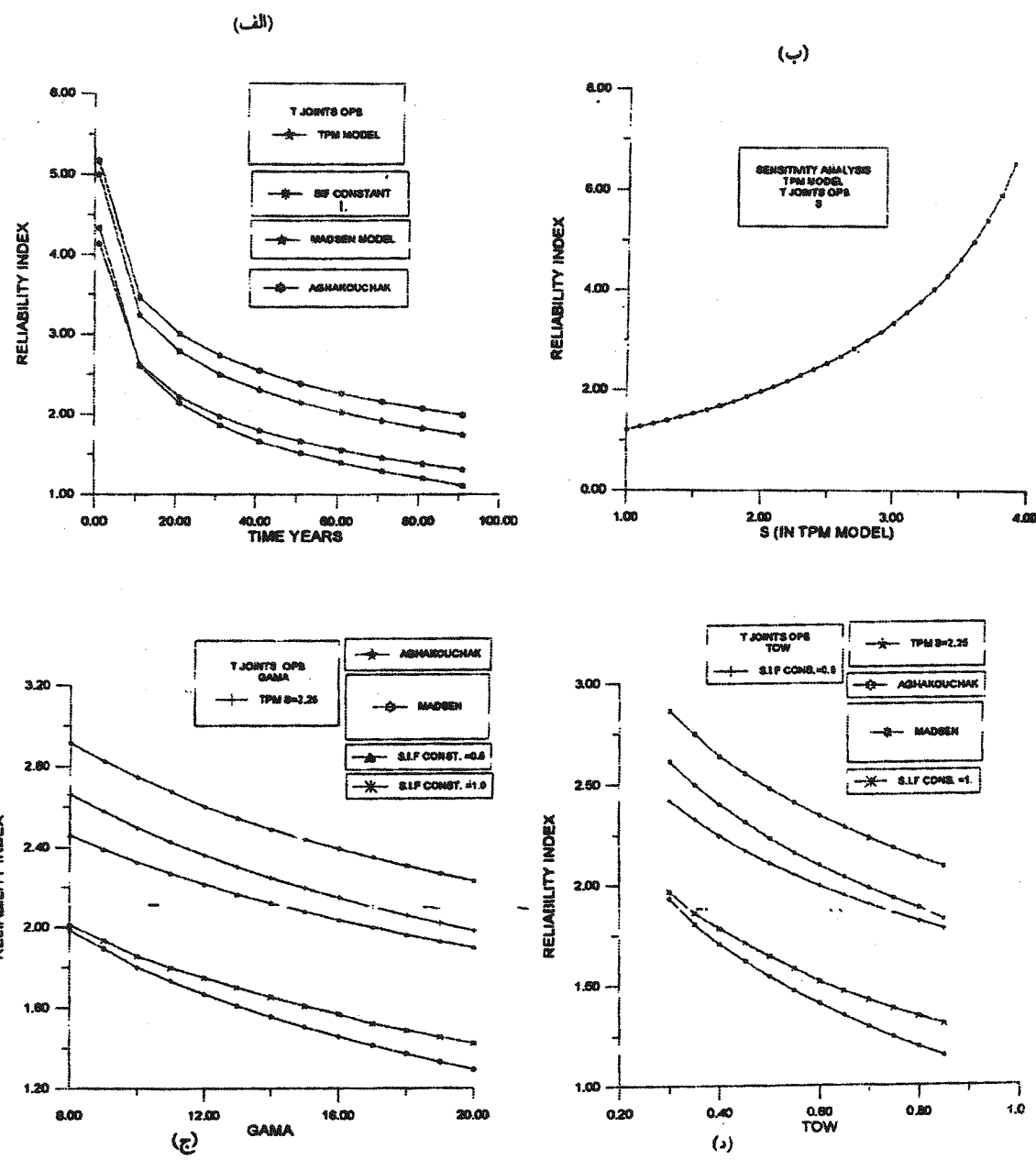
الف - اتصال T تحت اثر نیروی کشش شاخه

ب - اتصال T تحت اثر خمث برون صفحه ای OPB

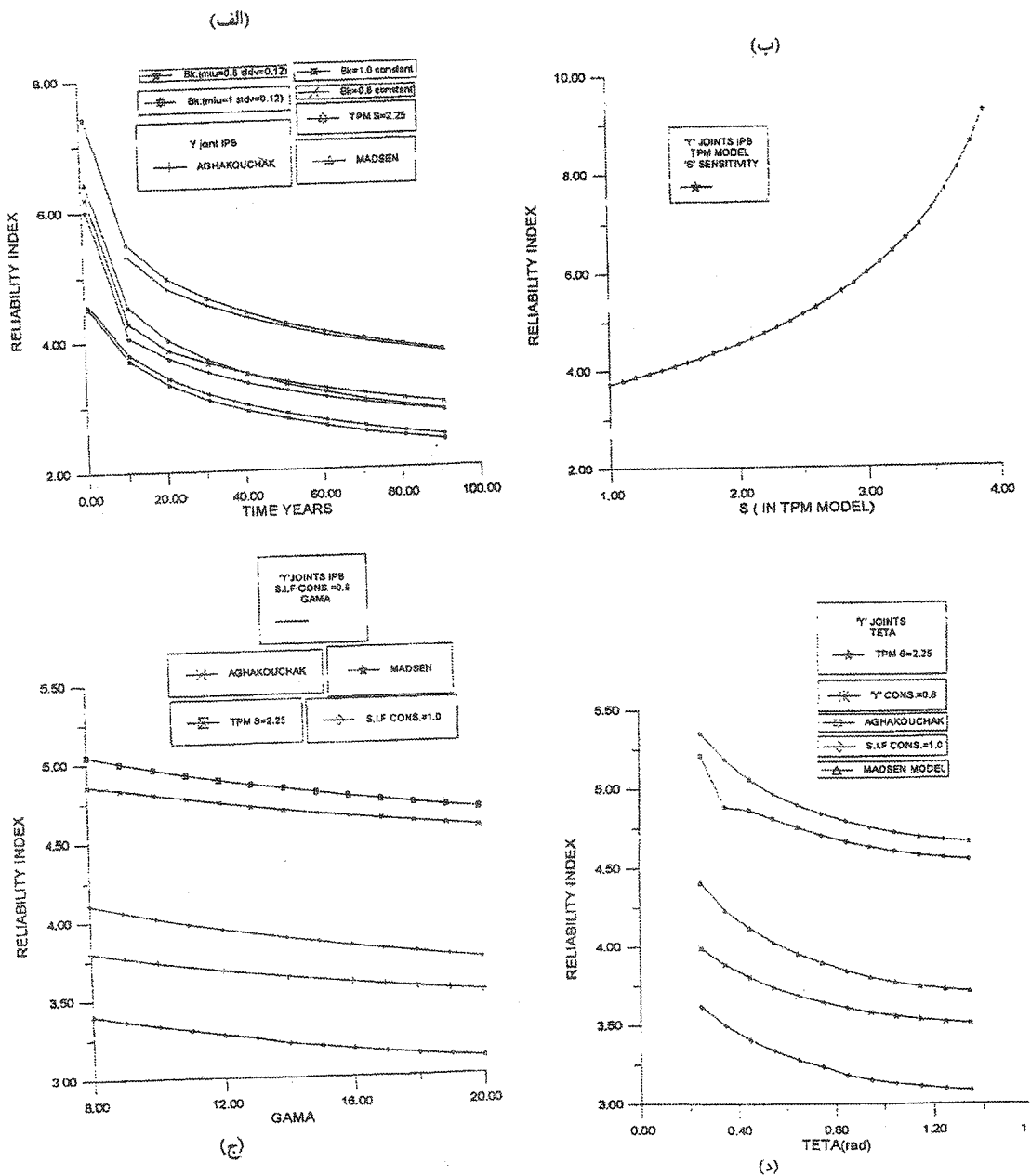
ج - اتصال Y تحت اثر خمث درون صفحه ای IPB



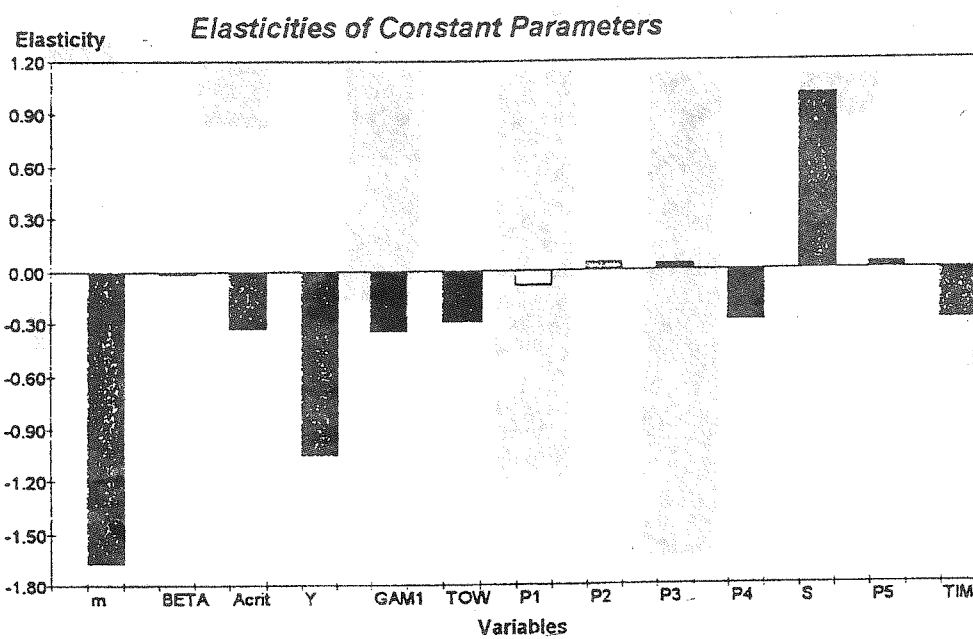
شكل (أ) اتصال T شكل تحت اثر نیروی محوری شاخه و مقایسه روابط مختلف فاکتور شدت تنش



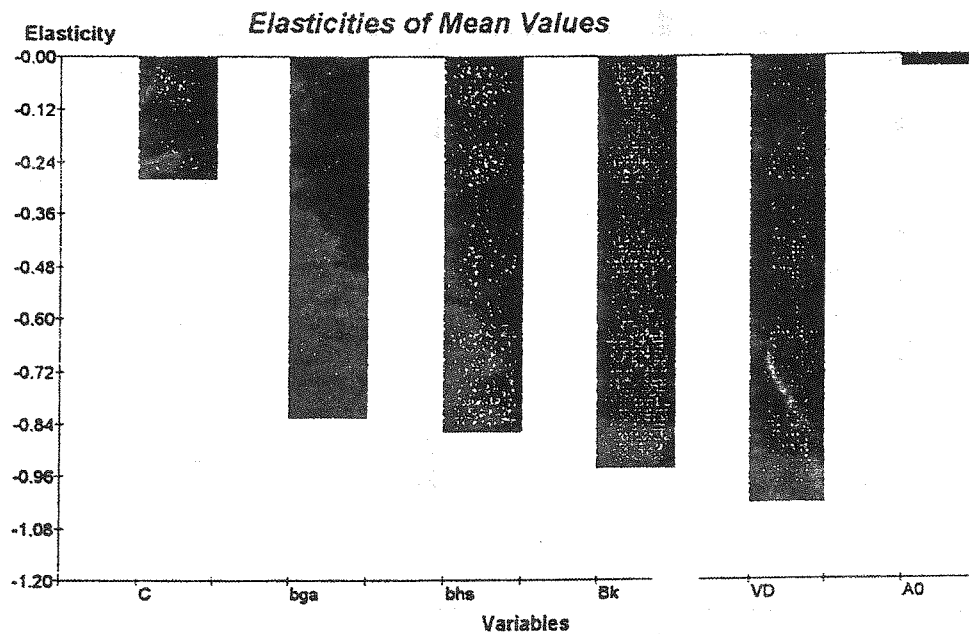
شكل (٩) اتصال T شكل تحت اثر خصم OPB - مقاييس روابط مختلف فاکتور شدت نتش



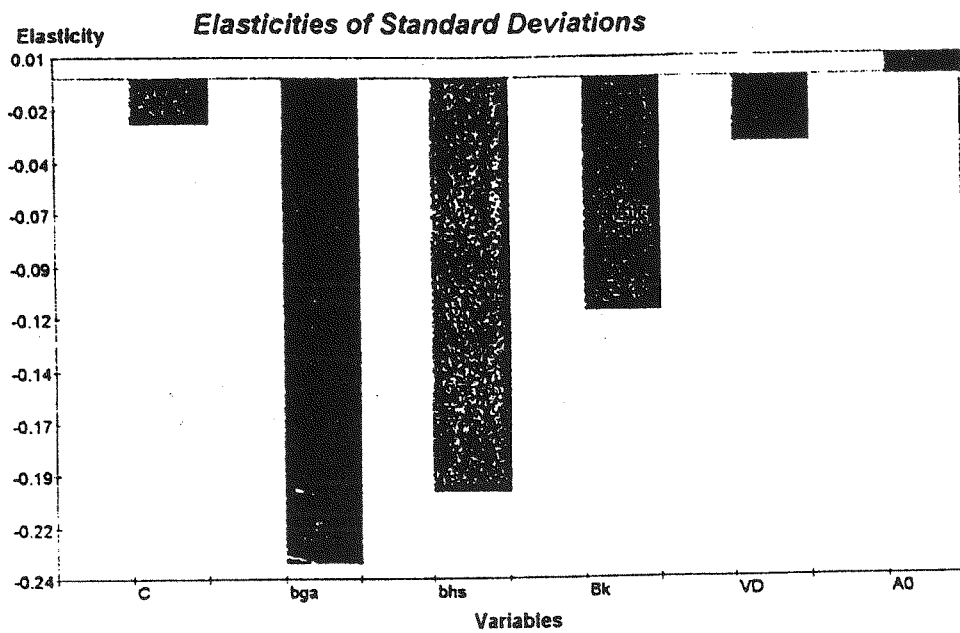
شكل (١٠) اتصال Y شكل تحت اثر خمس IPB مقايسه روابط مختلف فاكتور شدت نتش



شکل (الف - ۱۱) الاستیسیته مقادیر ثابت در مدل TPM



شکل (ب - ۱۱) الاستیسیته میانگین متغیرهای تصادفی در مدل TPM



شکل (ج - ۱۱) الاستیسیته انحراف معیار متغیرهای تصادفی در مدل TPM

جدول (۱) مشخصات متغیرهای تصادفی پایه

نام متغیر	منبع عدم قطعیت	تابع توزیع احتمال	میانگین	انحراف معیار
$B_{ga}$	نیروی عضو	نرمال	0.85	0.212
$B_{hs}$	hot spot	لوگ نرمال	0.85	0.17
$B_k$	SIF عدم قطعیت فیزیکی	لوگ نرمال	0.8	0.12
$V_D$	SIF عدم قطعیت مدل	مستطیلی	1.0	0.05774
$a_0$	نقایص اولیه	لوگ نرمال	0.73 (mm)	0.78 (mm)
C	ثابت پاریس	لوگ نرمال	$4.5 \times 10^{-12}$	$1.6 \times 10^{-12}$
G	تنش آستانه	لوگ نرمال	7.6	0.76

جدول (۲) مشخصات آلات مورد مطالعه

اتصال	D (mm)	d (mm)	t (mm)	T (mm)	$\beta$	$\tau$	$\gamma$
T	914	417	16	32	0.5	0.5	14.281
Y	457	324	12.5	16	0.709	0.7825	14.281

جدول (۳) مشخصات حالت دریا و طیف تنش حاصل از آن

Sea state	Sea state parameters			Stress reponse parameters				
	Significant wave Height (m)	Mean zero crossing period	Fraction of time	R. M. S ( $\sigma$ ) (<Pa)	Irregul arity factor (I)	Band width $\epsilon$	Peak rate $v_m$ (Hz)	
1	16.01	17.3	0.0000368	47.65	0.512	0.859	0.2440	
2	14.48	16.5	0.0000932	41.31	0.539	0.842	0.247	
3	12.96	15.8	0.00037	35.17	0.565	0.825	0.2500	
4	11.43	14.7	0.0022	29.79	0.610	0.793	0.2536	
5	9.9	13.6	0.0073	20.81	0.657	0.754	0.2573	
6	8.38	12.7	0.0135	15.89	0.699	0.715	0.2602	
7	6.86	11.6	0.0265	10.51	0.752	0.659	0.2639	
8	5.33	10.3	0.060	7.68	0.815	0.580	0.2676	
9	3.81	9.1	0.21	3.86	0.869	0.496	0.2710	
10	2.28	7.67	0.49	2.33	0.922	0.388	0.2748	
11	0.76	4.4	0.19	1.69	0.988	0.152	0.2830	

### مراجع

- [1] Paris P. and Erdogan F. "A critical analysis of crack propagation law, Journal of Basic Engineering Trans. ASME, Vol 85, (1963).
- [2] Aaghakouckak A., Glinka G., and Dharmavasan S. "A load shedding model for fracture mechanics analysis of fatigue cracks in tubular joints" Proceedings of the 8<sup>th</sup> Int. Conf. on Offshore Mechanics and Arctic Engineering, OMAE 1989, pp. 159-165.
- [3] Kirkemo F. "Application of Probabilistic fracture mechanics to offshore structures", APPI Mech. Rev. 4, No. 2, Feb 1988.
- [4] Newman J.C., and Raju IS. " An empirical stress intensity factor equation for the surface cracks" Engineering Fracture Mechanics, Vol 115, No.2, 1981, pp. 185-192.
- [5] Rhee H.C, Han S., and Gipson G. S., "Reliability of solution method and empirical formulas of stress intensity factors for weld toe cracks of tubular Joints" OMAE 1991, pp. 441-452.
- [6] P. Smedley, and P. Fisher, "Stress concentration factors for simple tubular joints" Lloyd's Register of shipping, London, U.K. OD/TN/95001/1996.
- [7] MTD (The Marine Technology Directorate Limited) publication, Doc. No. 92/100, (1992).
- [8] Madsen H. O, Krenk S. and Lind N. C., "Methods of Structural Safety" Prentice-Hall Inc., Englewood Cliffs, New Jersey, 1986.
- [9] Wirsching P.H. "Fatigue under wide band random stress, Journal of the Structural Division, American society of Civil Engineering, 1980, 98, July, pp. 1593-1606.